

研究 mir-219 下调 TGFB2 影响 ENMT 途径抑制急性心肌梗死

郭义威[△] 王松涛 崔卫刚

(新乡医学院人体解剖学教研室, 河南 新乡 453003)

摘要 目的 本研究主要是 mir-219 通过对 TGFB2 调控机制, 介导 ENMT 途径缓解急性心肌梗死的发展。**方法** qRT-PCR 检测 AMI 患者及 AMI 小鼠血清中 miR-219 的表达量; 过 microRNA 靶基因数据库 TargetScan 进行筛选预测; 荧光素酶报告基因法及 qRT-PCR 分析 TGFB2 与 miR-219 的调控机制; 我们通过心脏超声心动图检测 AMI 小鼠心肌注射 miR-219 慢病毒 4 周后的血分数 (LVEF); 采用 qRT-PCR 检测心肌注射 miR-219 慢病毒的 AMI 小鼠中 Nppa 的 mRNA 的表达量; 通过 Masson's trichrome 染色法检测小鼠四周后左心室纤维化变化; 使用 α -平滑肌肌动蛋白 (α -SMA) 对小鼠左室切片进行免疫组化分析; 通过 Western blot 检测 P-smad2、P-smad3 及 TGFB2 缺氧诱导蛋白磷酸化的表达水平。**结果** miR-219 对 AMI 有调控作用; miR-219 可抑制 TGFB2 的 mRNA 表达, 而 miR-219 inhibitor 可以抑制这种下调效果, miR-219 对 TGFB2 具有抑制调控性; miR-219 可抑制急性心肌梗死的进程, 促进梗死心肌功能的恢复; miR-219 能促进 AMI 小鼠心肌组织血管的新生和成熟, 最终心脏收缩能力上升, 心功能恢复; miR-219 能抑制 TGFB2 抑制 ENMT 途径, 导致缓解 AMI 的病理进程。**结论** miR-219 能通过抑制 TGFB2 影响 ENMT 途径, 心肌纤维化减少, 促进血管的新生和成熟, 心功能恢复, 抑制 AMI 的病理发展。

关键词: AMI; miR-219; TGFB2; ENMT

Inhibition of acute myocardial infarction by miR-219 on ENMT pathway by targeting TGFB2

Guo Yi-wei[△] Wang Song-tao Cui Wei-gang

(Department of Anatomy, Xinxiang Medical University, He'nan Xinxiang 453003, China.)

Abstract Objective In this study, miR-219 mediated the development of acute myocardial infarction through the regulation mechanism of TGFB2 and the ENMT pathway. **Methods** the expression of miR-219 in the serum of AMI patients and mice was detected by qRT-PCR. The target gene of miR-219 was screened in gene database

of microRNA. The regulatory mechanism of TGFBR2 and miR-219 was examined by luciferase reporter gene and qRT-PCR. The blood scores (LVEF) of AMI mice were measured 4 weeks after myocardial injection of miR-219 lentivirus (LVEF) by cardiac echocardiography. The mRNA expression of Nppa in AMI mice injected with miR-219 lentivirus was detected by qRT-PCR. The changes of left ventricular fibrosis in mice were detected by Masson's trichrome staining. Immunohistochemical analysis of the left ventricular section of mice was performed using spla-sma. Expression levels of p-smad2, p-smad3 and TGFBR2 hypoxia induced protein phosphorylation were detected by Western blot. **Results** miR-219 can regulate AMI. miR-219 inhibited the mRNA expression of TGFBR2, while miR-219 inhibitor inhibited the down-regulation effect. miR-219 can inhibit the process of acute myocardial infarction and promote the recovery of myocardial function of infarction. miR-219 can promote the angiogenesis and maturity of the myocardial tissue of AMI mice, and eventually the cardiac contractility increases and the cardiac function recovers. miR-219 can inhibit the inhibition of EndMT pathway by TGFBR2, leading to the alleviation of the pathological process of AMI. **Conclusion** miR-219 can inhibit the EndMT pathway by inhibiting TGFBR2, reduce myocardial fibrosis, promote angiogenesis and maturity, recover cardiac function and inhibit the pathological development of AMI.

Keywords: AMI; miR-219; TGFBR2; EndMT

1. 前言

在冠心病的诸多类型中，急性心肌梗死(Acute Myocardial Infarction, AMI)是最危重的类型之一。在冠状动脉粥样硬化的基础上，不稳定的粥样斑块溃破、出血、管腔内血栓形成、冠状动脉的急性闭塞，导致部分心肌发生持久性缺血而发生的局部坏死^[1]。AMI发病突然，病情进展迅速，常危及生命，死亡率高，近10年来我国居民患有AMI的患者数量呈逐年上升趋势^[2]。心肌结构组织内的胶原纤维异常积累，而导致心肌内胶原的浓度明显升高或是胶原容积分数(collagen volume fraction, CVF)增多，各种类型的胶原排序混乱及比例失衡的现象叫做心

肌纤维化(myocardial fibrosis, MF)^[3]。内皮间充质转化(endothelial-to-mesenchymal transition, EndMT)即内皮细胞在促成纤维刺激下可获得成纤维细胞样表型。许多研究指出 EndMT 可引起冠心病、急性心肌梗死和心肌纤维化的进展^[4]。EndMT 中,内皮细胞脱落于血管内膜(位于细胞组织层内),同时通过入侵皮下组织而进行细胞迁移。间叶细胞表型是以获得间叶细胞标志物如 SMA、N-cadherin,失去内皮细胞标志物 CD31、VE-cadherin。同时,内皮细胞的细胞间连接消失并获得迁移和侵袭性^[5]。一些研究已经证实 EndMT 在心脏纤维化的作用^[6]。比如说 Zeisberg et al. 进行谱系分析来探索心肌纤维化中成纤维细胞的起源^[7]。通过使心脏承受 5 天主动脉狭窄所致的压力超负荷来诱导心脏纤维化。TGF- β 可以诱导 EndMT,在 Smad 依赖性途径, TGFB2-ALK5、磷酸化 Smad2、Smad3 参与其中。在鼠的胚胎干细胞分化的内皮细胞中, TGF- β 通过激活 Smad、MEK、p38 MAPK 并抑制 Snail 1 来参与 EndMT^[8]。TGF- β 信号传导需要 TGFB1 和 TGFB2 共同参与,并且 TGFB1 需要 TGFB2 的参与才能激活并与 TGF- β 结合从而进一步激活下游通路,引发一系列纤维化效应。因此, TGFB2 在 TGF- β 信号通路中具有重要作用^[9]。目前已发现多种 miRNA 与急性急性心肌梗死有关。且有大量研究支持 miRNAs 与冠心病发生发展相关,尤其是在急性急性心肌梗死中,无论在动物模型中的研究都多次证明这些 miRNA 可能具有早期诊断急性急性心肌梗死的能力,并为其治疗提供新的方向^[10, 11]。所以本研究主要是 miR-219 通过对 TGFB2 调控机制,介导 ENDMT 途径缓解急性心肌梗死的发展可能会成为 AMI 诊疗的新方向。

2. 方法

2.1 研究对象

收集 2014 年 5 月至 2018 年 4 月在我院就诊的 AMI 患者 118 例,其中男性 77 例,女性 41 例。选取同期 95 名健康体检者为健康对照组。所有参与者均知情同意,并签署知情同意书。针对纳入的研究对象,采集肘静脉血 5-6mL;待血清析出后以 1000g 离心 10 min,取上层血清保存至-80 °C 冰箱待检测。

2.2 细胞培养和转染

人主动脉内皮细胞(human aortic endothelial cells, HAECs)使用含 10%胎

牛血清的 DMEM 培养基（培养基中含链霉素、青霉素，浓度分别为 100U/ml、100U/ml）。于 37℃、5%CO₂ 培养箱中培养，1-2 d 传代 1 次，取 2-4 代细胞实验。按照说明书分别转染 miR-219 mimics 和 negative control miRNA mimics 进 HAECs 细胞。

2.3 构建 AMI 小鼠模型

雄性C57/BL6小鼠随机分为假手术组（12只），AMI组（24只），AMI+ miR-219 组（24只）。AMI组小鼠用2%水合氯醛(100 mg/kg)腹腔注射麻醉。胸骨左缘第 2-4肋开胸，识别前降支走行范围，7/0滑线结扎左前降支，当结扎区域颜色转为苍白，心电图示波为急性心肌梗死表现时确认模型构建成功。假手术组小鼠开胸但不结扎左冠状动脉。其余步骤同AMI组。AMI+ miR-219组小鼠采用miR-219 mimics慢病毒进行心肌局部注射。

2.4 心脏功能检测

术后 2 周，10%水合氯醛腹腔注射对小鼠进行麻醉，然后心脏彩超检查各组小鼠并记录左室射血分数（LVEF）。

2.5 qRT-PCR 检测

采用 Trizol 法提取总 RNA，实验按照 Trizol 试剂盒说明书中步骤进行。将提取到的总 RNA 按照反转录试剂盒 RevertAidTM First Strand cDNA Synthesis Kit（#K1622）说明书，进行 RNA 反转录，合成 cDNA，反转录体系见表 1，反应条件为 25℃，5 min；42℃，60 min；70℃，5 min。将 cDNA 分装并放置在 -20℃ 保存备用。

表 1 反转录体系

成分	体积
Total RNA	2μl
Oligo(dT)18 Primer	1μl
5×Reaction Buffer	4μl
Ribolock TM RNase Inhibitor	1μl
10 mM dNTP Mix	2μl
RevertAid TM M-MuLV Reverse Transcriptase	1μl
Water Nuclease-free	9μl

按照 qRT-PCR 试剂盒说明书进行 PCR 反应，采用 β-actin 作为内参，反应体系

见表 2，反应条件为 95 ℃预变性 30 s，95 ℃，5 s，60 ℃，34s，循环 40 次，采用 $2^{-\Delta\Delta C_t}$ 法计算基因 mRNA 的相对表达量。

表 2 qRT-PCR 反应体系

试剂	体积
SYBR® Premix Ex Tap TM II	10 μL
PCR Forward Primer (10um)	0.8 μL
PCR Recerse Primer (10um)	0.8 μL
ROX Reference Dye	0.4 μL
DNA 模板	2 μL
灭菌蒸馏水	6 μL
Total	20 μL

2.6 Masson’s trichrome 染色

切取心肌标本，采用固定液固定，浸蜡包埋，固定于切片机上切片成 3-5μm 薄片，严格按照说明书采用 Masson’s trichrome 染色对假手术组小鼠，AMI 组小鼠和 AMI+miR-219 组小鼠进行心肌纤维化分析。

2.7 荧光素酶报告分析

构建 TGFBR2 野生型 3’-UTR 荧光素酶报告基因质粒 pMIR-wt，并以 pMIR-wt 质粒为模板，利用 PCR 搭桥法（overlapping PCR）构建其潜在结合位点突变型报告基因质粒 pMIR-Mut。将 miR-219 mimics，negative control miRNA mimics 内参海肾荧光素酶以及 pMIR-wt 和 pMIR-Mut 报告基因质粒共转染进 HAECs 中，在细胞培养箱中培养 36 h 后收取细胞液，按照双荧光素酶报告基因试剂盒 TransDetect Double-Luciferase Reporter Assay Kit 说明书采用荧光检测仪测定荧光素酶活性。

2.8 Western Blot 检测

采用含 50 mM Tris-HCl (pH 7.4), 150 mM NaCl, 0.5%脱氧胆酸钠, 0.1% SDS 和蛋白酶抑制剂及 1 mM 苯甲基磺酰氟的 RIPA 裂解液分离蛋白质。通过 SDS-PAGE 凝胶进行电泳，进行电转 PVDF 膜后，采用 5%脱脂奶粉封闭 2 h 后，进行一抗 P-smad2（购自 CST 公司，货号 18338T，比例 1:1000），P-smad3（购自 CST 公司，货号 9520T，比例 1:1000），TGFBR2（购自 CST 公司，货号 794245，

比例 1:1000) 孵育, 4℃ 过夜; TBST 清洗 10 min × 3 次, 摇床; 二抗采用 HRP-linked Antibody 以 1:1000 比例室温孵育 2 h, TBST 清洗 10 min × 3 次, 摇床; ECL 发光, 采用 Tanon4500 全自动化学发光图像分析系统进行显影分析。

3. 统计学方法

采用 SPSS 22.0 统计软件进行数据分析, 计量资料用 ($\bar{x} \pm s$) 表示, 两组样本均数比较采用 t 检验, $P < 0.05$ 为差异有统计学意义。

4. 结果

4.1 AMI 患者及 AMI 小鼠血清中 miR-219 的表达量

AMI 患者血清中 miR-219 的表达量相比正常组显著降低 (Fig. 1A), AMI 小鼠血清中 miR-219 表达量与假手术小鼠相比显著呈现低表达 (Fig. 1B)。

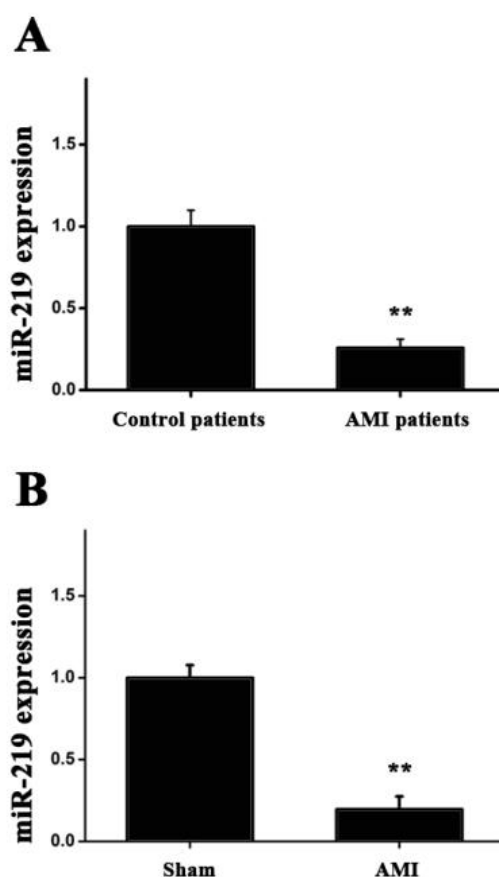


Fig.1 AMI 患者及 AMI 小鼠血清中 miR-219 的表达量(A) AMI 患者组与正常组血清中 miR-219 的相对表达量; (B) AMI 小鼠组与假手术小鼠组血清中 miR-219 的相对表达量

Fig.1 Expression of miR-219 in serum of AMI patients and AMI mice. (A)

Relative expression of miR-219 in serum of AMI patients and normal group; (B) Relative expression of miR-219 in serum of AMI mice and sham-operated mice

注: **, 表示 $P < 0.01$, 差异具有统计学意义

Note: **, indicating $P < 0.01$, the difference is statistically significant

4.2 靶基因 TGFBR2 与 miR-219 的调控作用

我们通过 microRNA 靶基因数据库 TargetScan 进行筛选预测, 确定 miR-219 的潜在靶基因为 TGFBR2 (Fig.2A)。同时, 构建 TGFBR2 野生型 3'-UTR 荧光素酶报告基因质粒 pMIR-WT 及突变型报告基因质粒 pMIR-Mut。将 miRNA-219 mimics, negative control miRNA mimics 以及 pMIR-WT 和 pMIR-Mut 报告基因质粒共转染进 HAECs 细胞中, 双荧光素酶检测结果显示, miRNA-219 mimics 可明显抑制 pMIR-WT 质粒荧光素酶活性; 而对 pMIR-Mut 荧光素酶活性无明显影响 (Fig.2B)。该结果显示 miR-219 可结合 TGFBR2 的 3'-UTR 并抑制 TGFBR2 的表达。然后我们通过 qRT-PCR 检测了 NC 对照组, miR-219 mimics 转染组和 miR-219 inhibitor 转染组中 TGFBR2 的 mRNA 表达水平, 发现 miR-219 mimics 转染组中 TGFBR2 的 mRNA 相比 NC 对照组显著呈现低表达, 而 miR-219 inhibitor 转染组中 TGFBR2 的 mRNA 显著呈现高表达 (Fig. 2C)。

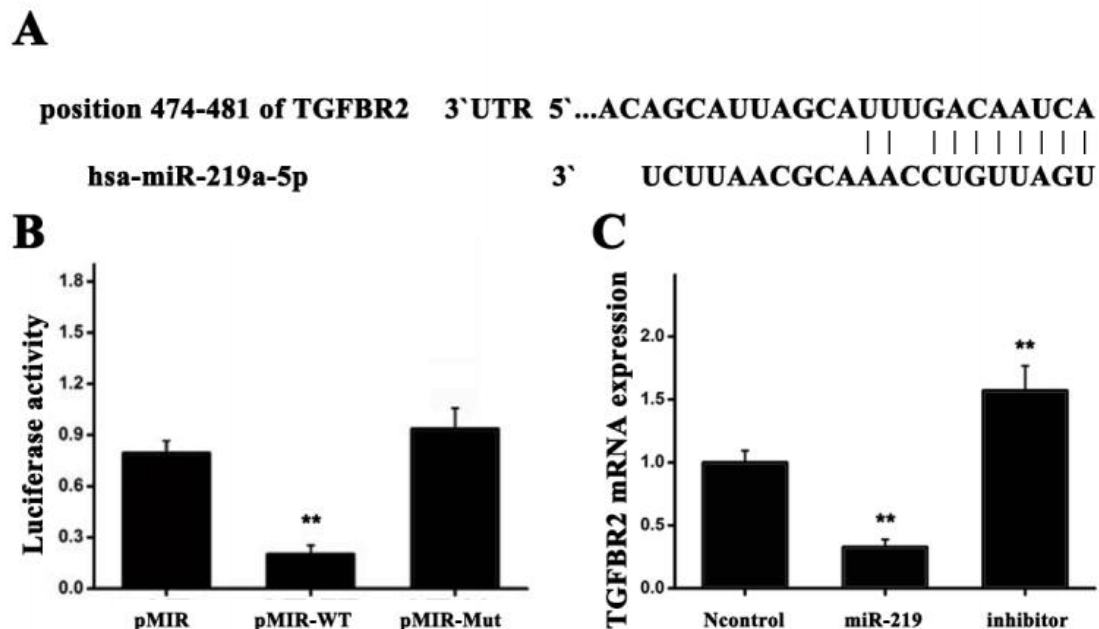


Fig.2 靶基因 TGFBR2 与 miR-219 的调控作用(A) 通过 TargetScan 预测 miR-219 潜在靶基因; (B)双荧光素酶检测结果; (C) qRT-PCR 检测各组 TGFBR2 的 mRNA

相对表达量 Fig.2 Regulation of target gene TGFBR2 and miR-219 (A) Predicted miR-219 potential target gene by TargetScan; (B) The result of dual luciferase reporter gene assay; (C) qRT-PCR result of TGFBR2 mRNA relative expression in each groups

注: **, 表示 $P < 0.01$, 差异具有统计学意义

Note: **, indicating $P < 0.01$, the difference is statistically significant

4.3 miR-219 对 AMI 小鼠心脏纤维化的影响

我们推测 miR-219 会对 AMI 心功能有一定影响, 我们通过对 AMI 小鼠心肌注射 miR-219 慢病毒, 在 4 周后通过心脏超声心动图检测, 心肌注射 miR-219 慢病毒的 AMI 小鼠比 AMI 小鼠的左心室射血分数(LVEF)恶化程度更轻微(Fig. 3A)。通过 qRT-PCR 检测心肌注射 miR-219 慢病毒的 AMI 小鼠中 Nppa 的 mRNA 的表达量也显著低于 AMI 小鼠 (Fig. 3B)。上述结果显示 miR-219 可抑制 Nppa 的 mRNA 的表达导致抑制 AMI 的进程。我们采用 Masson's trichrome 染色法检测分析小鼠 4 周后左心室纤维化变化, 我们发现心肌注射 miR-219 慢病毒后 AMI 小鼠比 AMI 小鼠的左心室纤维化明显减少, 急性心肌梗死程度呈现恢复 (Fig. 3C)。

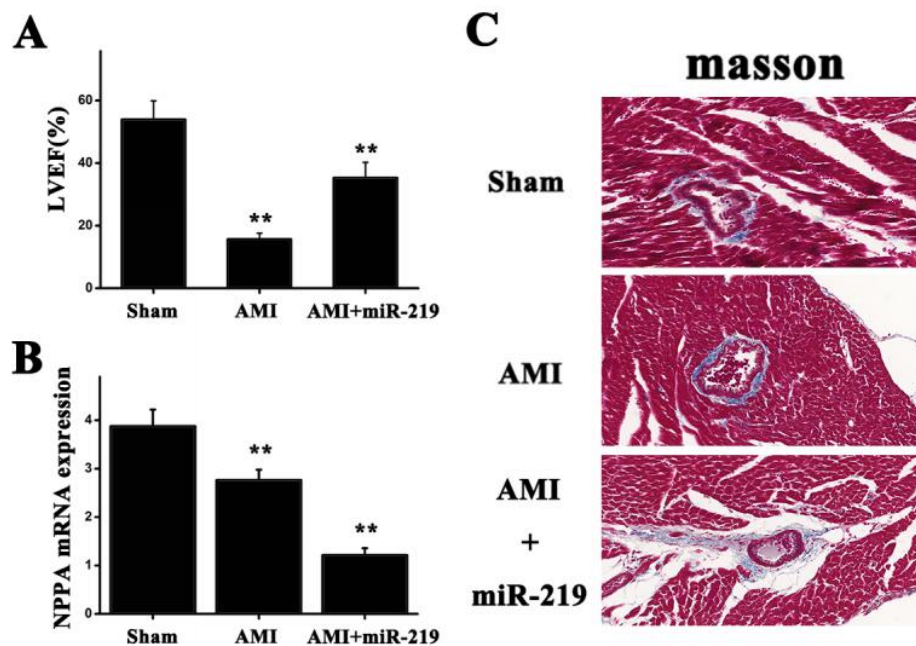


Fig.3 miR-219 对 AMI 小鼠心脏纤维化的影响(A)心脏超声心动图检测小鼠左心室射血分数 (LVEF) 恶化程度; (B) qRT-PCR 检测 Nppa mRNA 的相对表达量;

(C) 采用 Masson's trichrome 染色法检测分析小鼠左心室纤维化变化

Fig.3 Effect of miR-219 on cardiac fibrosis in AMI mice (A) The degree of left ventricular ejection fraction (LVEF) deterioration in mice detected by cardiac echocardiography; (B) Nppa mRNA relative expression detected by qRT-PCR; (C) Detected the left ventricular fibrosis in mice by Masson's trichrome staining

注: **, 表示 $P < 0.01$, 差异具有统计学意义

Note: **, indicating $P < 0.01$, the difference is statistically significant

4.4 AMI 小鼠模型中 miR-219 的调控机制

我们检测各处理组小鼠的心脏中血管新生的情况, 使用 α 平滑肌肌动蛋白抗体 (α -SMA) 对小鼠左室切片进行免疫组化分析, 我们发现 miR-219 过表达的 AMI 小鼠的心脏中 α -SMA 被覆盖阳性的小血管密度远远大于 AMI 小鼠 (Fig. 4)。

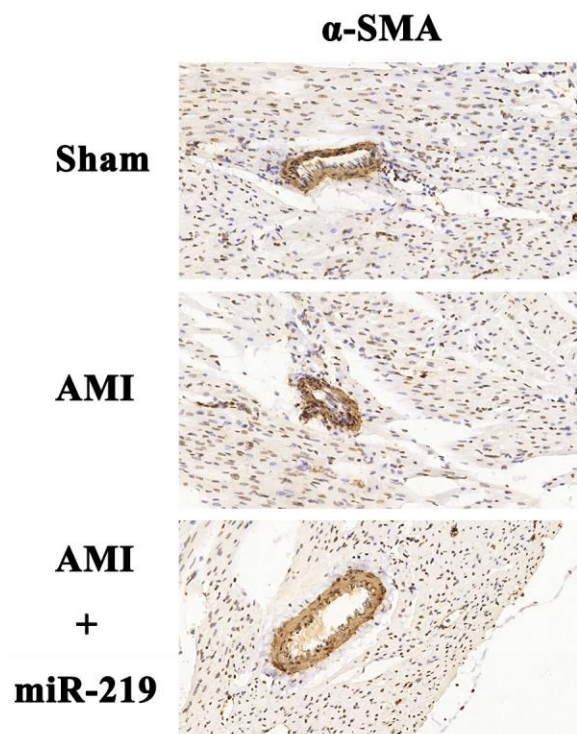


Fig.4 α -SMA 在各处理组小鼠左室切片的免疫组化结果

Fig.4 Immunohistochemical results of α -SMA in left ventricular sections of mice in each treatment group

4.5 miR-219 调控 TGFBR2 影响 EndMT 途径调节 P-smad2 及 P-smad3

有研究表示 TGF- β 可以诱导 EndMT，在 Smad 依赖性途径，TGFBR2-ALK5、磷酸化 Smad2、Smad3 参与其中^[12]。因此本研究中我们通过 Western blot 对其进行检测，我们发现 P-smad2、P-smad3 及 TGFBR2 缺氧诱导蛋白磷酸化的表达水平显著高于正常组，而 miR-219 处理组抑制了该效果，缺氧诱导蛋白磷酸化的表达水平显著低于前者，但是在 miR-219+TGFBR2 处理组中回补该抑制效果，蛋白磷酸化的表达水平显著上升。结果提示，miR-219 能抑制 TGFBR2 抑制 EndMT 途径，导致缓解 AMI 的病理进程，有抑制效果。

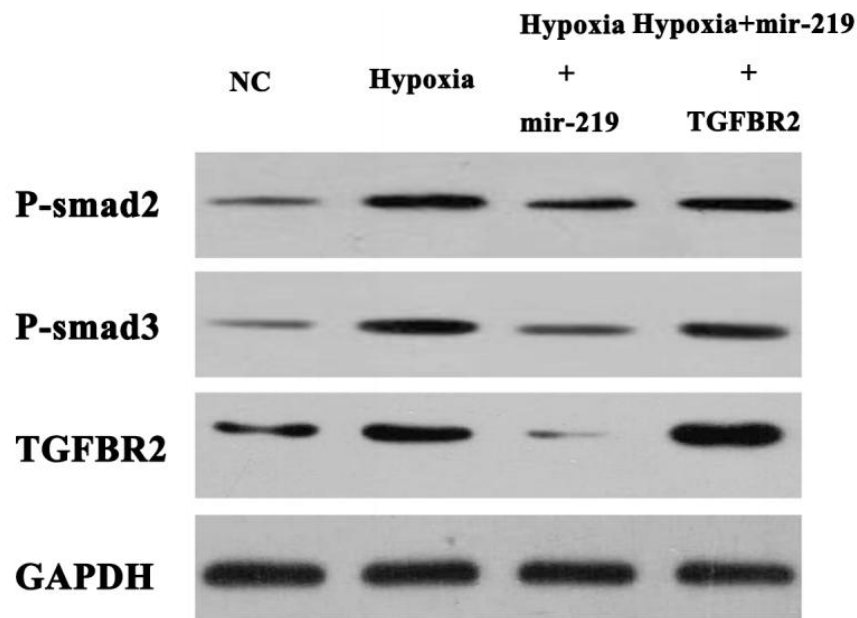


Fig.5 P-smad2、P-smad3 及 TGFBR2 缺氧诱导蛋白磷酸化在各组中的表达水平

Fig.5 Expression levels of P-smad2, P-smad3 and TGFBR2 in each group detected by Western Blot

5. 讨论

急性心肌梗死（acute myocardial infarction, AMI）是指冠脉血流量因动脉粥样硬化等因素突然减少，血流受阻，使供应区域的心肌细胞无法得到养供，而后发生心肌损伤，随着范围不断扩大，进而影响心脏泵血功能，以致威胁生命。

近年以来，研究表明 miRNA 在疾病发生发展中可通过靶向调节其下游靶基因发挥作用。在多个研究领域都得到广泛重视，包括肿瘤、心血管疾病等等。已

发现多种 miRNA 在急性心肌梗死患者血液和血浆中发生改变，如 miR-1、miR-133a，miR-208b，miR-499，miR-328 等，提示循环 miRNA 在 AMI 早期诊断中具有价值^[13, 14]。MicroRNAs 是一种非编码小分子 RNA，由内源基因编码，长度约为 18-22 个核苷酸，调控着人类 30% 左右的基因。它通过与 3' 端非翻译区不完全碱基配对来调控转录后基因的表达，在病理和生理状态下发挥重要作用。它们不但被基因内含子编码而且有时候通过特定基因编码。miRNAs 可经抑制转录或者拮抗相应的 mRNA 调控特定蛋白的表达。由于 miRNA 有多个作用靶点，因此可能有多种不同的功能。miRNAs 已被证实在几乎所有生物学进展过程中都有参与并调控基因的表达，包括细胞增殖，血管生成，细胞凋亡，细胞分化，信号传导以及应激反应等^[15, 16]。miR-219 与人体多种病理生理过程具有相关性。miR-219 可调节并维持人体的昼夜节律^[17]，参与阿尔兹海默症^[18]、精神分裂症^[19]等多种神经疾病的发生发展过程。但目前针对于 miR-219 在 AMI 发生发展过程中的调节作用尚无研究。本课题通过 qRT-PCR 检测发现，AMI 患者血清中 miR-219 的表达量低于健康正常组；且在构建的 AMI 小鼠模型血清中 miR-219 表达量亦低于假手术组小鼠。上述结果提示 miR-219 可能和 AMI 有相关的调控关系，对 AMI 的发展具有一定的影响，针对这一点需要我们进一步的研究。因此，我们还检测各处理组小鼠心脏中血管新生情况，使用 α 平滑肌肌动蛋白 (α -SMA) 对小鼠左室切片进行免疫组化分析，发现 miR-219 过表达的 AMI 小鼠的心脏中 α -SMA 被覆盖阳性的小血管密度远远大于 AMI 小鼠，上述结果表明，miR-219 在 AMI 发生发展过程中具有调节作用，可促进 AMI 小鼠心肌组织血管的新生和成熟，提高心脏收缩能力，有助于心功能恢复。

TGF- β 是 TGF 超家族成员之一，其他成员还包括骨形成蛋白和活化素。它们在维持组织稳态和修复中起到重要作用，同时也出现在一些肿瘤、血管疾病和纤维化疾病中。TGF- β 介导的 EndMT 的分子机制涉及转录因子 Snail 家族的转录、表达^[20]。TGFB2 是 TGF- β II 型受体，其胞内含丝氨酸/苏氨酸激酶结构域，在肝脏和肾小球中密度最高。TGF- β 必须通过与细胞膜上包括 TGFB2 在内的特异性受体结合，才能发挥生物学作用^[20]。目前研究已证实 TGFB2 基因突变与马方综合征 (Marfan syndrome)，Loeys Deitz 主动脉瘤综合征和 Osler Weber Rendu 综合征等有关^[21, 22]，但针对 TGFB2 基因在 AMI 中的功能研究尚缺乏。本研究

通过 microRNA 靶基因数据库 TargetScan 对 miR-219 的潜在靶基因进行筛选预测, 发现 TGFBR2 为 miR-219 的潜在靶基因, 并通过荧光素酶报告基因法检测发现 miR-219 可结合 TGFBR2 的 3'-UTR 并抑制 TGFBR2 的表达。然后采用 qRT-PCR 法检测了 NC 对照组, miR-219 mimics 转染组和 miR-219 inhibitor 转染组中 TGFBR2 的 mRNA 表达水平, 发现 miR-219 mimics 转染组中 TGFBR2 的 mRNA 相比 NC 对照组显著呈现低表达, 而 miR-219 inhibitor 转染组中 TGFBR2 的 mRNA 显著呈现高表达, 上述结果表明, miR-219 可抑制 TGFBR2 的 mRNA 表达, 而 miR-219 inhibitor 可以抑制这种下调效果, miR-219 对 TGFBR2 具有抑制调控性。

EndMT 是内皮细胞经某种特定程序转变为拥有间质表型特性的细胞的过程。有研究显示, 血管内膜层原位的内皮细胞也可从血管内膜层中分离出来, 迁移到其下组织中, 转化为间充质细胞或平滑肌样细胞, 这一过程称为 EndMT。在 EndMT 过程中, 内皮细胞从血管内膜层脱离, 迁移到内膜下层组织。内皮细胞逐渐丢失其标志蛋白, 如血小板内皮细胞黏附分子 1(CD31)、血管内皮钙黏蛋白, 形成细长状间充质样细胞, 获得间充质细胞标志蛋白, 如 α -SMA、神经钙黏蛋白。EndMT 在心血管发生过程中起重要作用^[23, 24]。内皮细胞经 EndMT 转化为间充质心内膜垫细胞, 这一过程同样出现在主动脉及下面各级动静脉的发生及成熟过程。TGF- β 可以诱导 EndMT^[25, 26]。在 Smad 依赖性途径, TGFBR2-ALK5、磷酸化 Smad2、Smad3 参与其中。磷酸化 Smad 以及 Smad4 转入核内。Snail 家族也参与其中。在鼠的胚胎干细胞分化的内皮细胞中, TGF- β 通过激活 Smad、MEK、p38 MAPK 并抑制 Snail 1 来参与 EndMT^[27]。本研究中, 我们通过 Western blot 对其进行检测, 我们发现 P-smad2、P-smad3 及 TGFBR2 缺氧诱导蛋白磷酸化的表达水平显著高于正常组, 而 miR-219 处理组抑制了该效果, 缺氧诱导蛋白磷酸化的表达水平显著低于前者, 但是在 miR-219+TGFBR2 处理组中回补该抑制效果, 蛋白磷酸化的表达水平显著上升。上述结果提示, miR-219 能抑制 TGFBR2 抑制 EndMT 途径, 导致缓解 AMI 的病理进程, 有抑制作用。

大量研究表明, 心肌纤维化是多种疾病如心力衰竭、高血压和心肌梗死等心血管疾病的一种基础病变, 纤维化被定义为不同组织的过度增殖、硬化或者瘢痕组织的形成, 同时纤维化促进细胞外基质过多堆积。尽管 EndMT 出现于先天性

条件，但它同样涉及到各种后天性的生理状态如已被广泛研究的纤维化。最近，内皮细胞已作为成纤维细胞通过 EndMT 的另一来源。Zeisberg 和他的同事揭示在心脏纤维化中接近 27-35% 的成纤维细胞是来自通过共表达 CD31、FSP-1 的内皮细胞。在体外已被证实为 EndMT 抑制剂的 BMP-7 可以改善两种不同心脏病模型的大鼠的心脏纤维化，而且这些结果提示心脏纤维化与 EndMT 密切相关。本研究中我们通过对 AMI 小鼠心肌注射 miR-219 慢病毒，在 4 周后通过心脏超声心动图检测，心肌注射 miR-219 慢病毒的 AMI 小鼠比 AMI 小鼠的左心室射血分数（LVEF）恶化程度更轻微。同时，通过 qRT-PCR 检测心肌注射 miR-219 慢病毒的 AMI 小鼠中 *Nppa* 的 mRNA 的表达量也显著低于 AMI 小鼠。然后我们采用 Masson's trichrome 染色法检测分析小鼠 4 周后左心室纤维化变化，我们发现心肌注射 miR-219 慢病毒后 AMI 小鼠比 AMI 小鼠的左心室纤维化明显减少，急性心肌梗死程度呈现恢复。上述结果显示 miR-219 可抑制 *Nppa* 的 mRNA 的表达导致抑制 AMI 的进程，促进梗死心肌功能的恢复。

综上所述，miR-219 能抑制 TGFBR2 抑制 EndMT 途径，导致抑制 AMI 的病理进程，促进梗死心肌功能的恢复，使 AMI 小鼠心肌组织血管的新生和成熟，最终心脏收缩能力上升，心功能恢复。因此，miR-219 下调 TGFBR2 抑制 EndMT 途径抑制急性心肌梗死为 AMI 的治疗与针对于提供了新靶点。

参考文献

- [1] 田国芳, 宋玉勤, 程宇彤, 等. 急性心肌梗死介入治疗术后的康复运动疗法研究进展[J]. 心脏杂志, 2016, 28(4): 492-495.
- [1] Tian Guofang, Song Yuqin, Cheng Yuxi, et al. Progress in rehabilitation exercise therapy after interventional therapy for acute myocardial infarction[J]. J Cardiol, 2016, 28(4): 492-495.
- [2] Toltl LJ, Swystun LL, Pepler L, et al. Protective effects of activated protein C in sepsis[J]. Thromb Haemost, 2008, 100(4): 582-592.
- [3] Travers JG, Kamal FA, Bobbins J, et al. Cardiac fibrosis: the fibroblast awakens[J]. Circ Res, 2016, 118(6): 1021-1040.

- [4] 林昌建, 孔辉, 解卫平, 等. EndMT 在血管重塑中的作用及相关信号通路[J].江苏医药,2016,42(12):1384-1386.
- [4] Lin Changjian, Kong Hui, Xie Weiping, et al. The role of EndMT in vascular remodeling and related signaling pathways[J]. Jiangsu Medical Journal, 2016,42(12):1384-1386.
- [5] Fidler IJ. Seed and soil revisited: contribution of the organ microenvironment to cancer metastasis[J]. Surg Oncol Clin N Am, 2001, 10(2): 257-269.
- [6] 张召才, 严静, 虞意华, 等. 心肌炎小鼠心肌纤维化与心脏上皮/内皮间充质转化的关系[J].中国病理生理杂志,2011,27(9):1692-1696.
- [6] Zhang Zhaocai, Yan Jing, Qi Yihua, et al. Relationship between myocardial fibrosis and cardiac epithelial/endothelial mesenchymal transition in myocarditis mice[J]. Chinese Journal of Pathophysiology, 2011, 27(9): 1692-1696.
- [7] Zeisberg EM, Tarnavski O, Zeisberg M, et al. Endothelial-to-mesenchymal transition contributes to cardiac fibrosis[J]. Nat Med, 2007, 13(8): 952-961.
- [8] Davis UE, Senger DR. Endothelial extracellular matrix: biosynthesis, remodeling, and functions during vascular morphogenesis and neovessel stabilization[J]. Circ Res, 2005, 97(11):1093-1107.
- [9] Yang M, Zhu M, Tang L, et al. Polymorphisms of TGF β -1 and TGFBR2 in relation to coronary artery disease in a Chinese population[J]. Clin Biochem, 2016, 49(12): 873-878.
- [10] Liu Z, Yang D, Xie P, et al. MiR-106b and MiR-15b Modulate Apoptosis and Angiogenesis in Myocardial Infarction[J]. Cell Physiol Biochem, 2012, 29(5-6): 851-862.
- [11] Liu X, Zhang Y, Du W, et al. MiR-223-3p as a Novel MicroRNA Regulator of Expression of Voltage-Gated K⁺ Channel Kv4.2 in Acute Myocardial Infarction[J]. Cell Physiol Biochem, 2016, 39(1): 102-114.
- [12] Medici D, Potenta S, Kalluri R. Transforming growth factor- β ₂ promotes Snail-mediated endothelial-mesenchymal transition through convergence of Smad-dependent and Smad-independent signaling[J]. Biochem, 2011, 437(3):

515-520.

- [13] Olivieri F, Antonicelli R, Lorenzi M, et al. Diagnostic potential of circulating miR-499-5p in elderly patients with acute non ST-elevation myocardial infarction[J]. *Int J Cardiol*, 2013, 167(2): 531-536.
- [14] Lv P, Zhou M, He J, et al. Circulating miR-208b and miR-34a Are Associated with Left Ventricular Remodeling after Acute Myocardial Infarction[J]. *Int J Mol Sci*, 2014, 15(4): 5774-5788.
- [15] Rui Z, Chao L, Hui P, et al. Expression of circulating miR-486 and miR-150 in patients with acute myocardial infarction[J]. *BMC Cardiovasc Disord*, 2015, 15(1): 1-7.
- [16] Xian L, Zhanwei F, Tianshu Z, et al. Plasma miR-1, miR-208, miR-499 as potential predictive biomarkers for acute myocardial infarction: An independent study of Han population[J]. *Exp Gerontol*, 2015, 72: 230-238.
- [17] Cheng HY, Papp JW, Varlamova O, et al. microRNA modulation of circadian-clock period and entrainment[J]. *Neuron*, 2007, 54(5): 813-829.
- [18] Lukiw WJ. Micro-RNA speciation in fetal, adult and Alzheimer's disease hippocampus[J]. *Neuroreport*, 2007, 18(3): 297-300.
- [19] Shi W, Du J, Qi Y, et al. Aberrant expression of serum miRNAs in schizophrenia[J]. *J Psychiatr Res*, 2012, 46(2): 198-204.
- [20] 周依蒙, 郑鹏翔, 戴晓勇, 等. 微小 RNA-678 调控心肌梗死相关转录因子 FoxP1 的表达研究[J]. *国际心血管病杂志*, 2018, 45(1):4 4-47.
- [20] Zhou Yimeng, Zheng Pengxiang, Dai Xiaoyong, et al. MicroRNA-678 regulates the expression of FoxP1, a transcription factor related to myocardial infarction[J]. *International Journal of Cardiovascular Diseases*, 2018, 45(1): 44-47.
- [21] Ha JS, and Kim YH. A sporadic case of Loeys-Dietz syndrome type I with two novel mutations of the TGFBR2 gene [J]. *Korean journal of pediatrics*, 2011, 54(6):272-275.
- [22] Jamsheer A, Henggeler C, Wierzbza J, et al. A new sporadic case of early-onset Loeys-Dietz syndrome due to the recurrent mutation p.R528C in the TGFBR2

- gene substantiates interindividual clinical variability [J]. Journal of applied genetics, 2009,50(4):405-410.
- [23] 刘艳华, 李宾公. 内皮间质转分化在心血管疾病中的研究进展[J]. 医学研究生学报, 2016, 29(8): 872-876.
- [23] Liu Yanhua, Li Bingong. Advances in the study of endothelial mesenchymal transition in cardiovascular diseases[J]. Journal of Medical Postgraduate, 2016, 29(8): 872-876.
- [24] 马坤岭, 刘晶, 倪杰, 等. 微炎症致脂质稳态失调在小鼠心肌纤维化中的作用[J]. 中华心血管病杂志, 2013, 41(7): 602-606.
- [24] MA Kun-ling, LIU Jing, NI Jie, et al. The role of microinflammation-induced lipid homeostasis in myocardial fibrosis in mice[J]. Chinese Journal of Cardiovascular Diseases, 2013, 41(7): 602-606.
- [25] 鞠延玲, 朱国伟, 赵旭, 等. miR-330-5p 负性调控 ADAM17 基因抑制人心脏微血管内皮细胞的间质转化[J]. 贵州医药, 2016, 40(10): 1011-1014.
- [25] YAN Yan-ling, ZHU Guo-wei, ZHAO Xu, et al. Negative regulation of ADAM17 gene by miR-330-5p inhibits mesenchymal transition of human cardiac microvascular endothelial cells[J]. Guizhou Medicine, 2016, 40(10): 1011-1014.
- [26] 史可欣, 梅焕平. 转化生长因子- β 调控内皮间充质转化的研究进展[J]. 山西医药杂志, 2017, 46(5): 522-526.
- [26] Shi Kexin, Mei Huanping. Research progress of transforming growth factor- β in regulating endothelial mesenchymal transition[J]. Shanxi Medical Journal, 2017, 46(5): 522-526.
- [27] Liu Z, Zhang K, Wang QL, et al. Serum TGF- β 1 in patients with acute myocardial infarction[J]. Br J Biomed Sci, 2016, 73(2): 90-93.